

Осуществлен анализ результатов исследовательских испытаний методологии комплексной параметрической идентификации параметров энергетического объекта на примере газоперекачивающего агрегата с проверкой дееспособности обратных связей и сравнение с данными штатной системы контроля параметров.

Определена целесообразность внедрения методологии в реальных условиях с целью обеспечения высоких показателей энерго-экологической эффективности и безопасности эксплуатации высокотехнологичной установки с возможностью прогнозирования состояния и оптимизации загрузки.

**Ключевые слова:** энергетический объект, реальное состояние, методология, параметры, фактические характеристики, качественные показатели.

Надійшла 03.02.2015  
Received 03.02.2015

**УДК 621.311**

**Н.В. Буслова** канд. техн. наук, доцент; **Ю.Ю. Малыш**  
Национальный технический университет Украины «Киевский политехнический институт»

## **ГАЗОИЗОЛИРОВАННЫЕ ЛИНИИ КАК СОВРЕМЕННОЕ СРЕДСТВО ПОВЫШЕНИЯ ПРОПУСКНОЙ СПОСОБНОСТИ СЕТЕЙ**

В статье рассматривается проблема современных мегаполисов, связанная с необходимостью увеличения мощности городских сетей. В связи с этим в работе исследовано использование газоизолированных линий электропередач (ГИЛ) с повышенной пропускной способностью, и выполнен сравнительный анализ с другими конструкциями линий.

**Ключевые слова:** газоизолированная линия электропередач, пропускная способность, кабельная линия, воздушная линия, изолятор, оболочка, элегаз, потери, изоляция.

### **Введение.**

В настоящее время потребность в электроэнергии больших городов возрастает. Это ставит задачу по увеличению пропускной способности городских сетей, но, как известно, основная проблема электроснабжения городов - это отсутствие коридоров для воздушных линий (ВЛ), ограниченное пространство кабельных туннелей, а также площадок для сооружения подстанций. Подобные проблемы существуют не только в городах, но и актуальны при выводе больших мощностей из центров их производства, а также для объектов с повышенным требованием снижения электромагнитных полей. Исходя из изложенной проблемы, нужно найти решение по увеличению пропускной способности за счет использования новых технологий в системах электропередач.

Одна из таких технологий предусматривает использование газоизолированных линий электропередач (ГИЛ), в которых диэлектриком служит элегаз с избыточным давлением.

### **Постановка задачи.**

Исследовать возможность применения ГИЛ в электрических сетях как средство повышения пропускной способности и выполнить сравнительный анализ ГИЛ с другими конструкциями линий.

### **Основная часть.**

Следует отметить, что современные кабельные линии (КЛ) рассчитаны на критические мощности (до 1700 МВт), а также по условиям термической стойкости они плохо приспособлены для передачи электроэнергии на расстояния, большие нескольких десятков километров. Помимо этого, они пожароопасны, имеют электромагнитное поле и существенные проблемы при вертикальной прокладке [1].

По конструктивному исполнению элегазовая линия не имеет сложных технических решений, она представляет собой коаксиальную конструкцию, проводник в которой поддерживается опорными изоляторами в центре заземленной оболочки (рисунок 1).

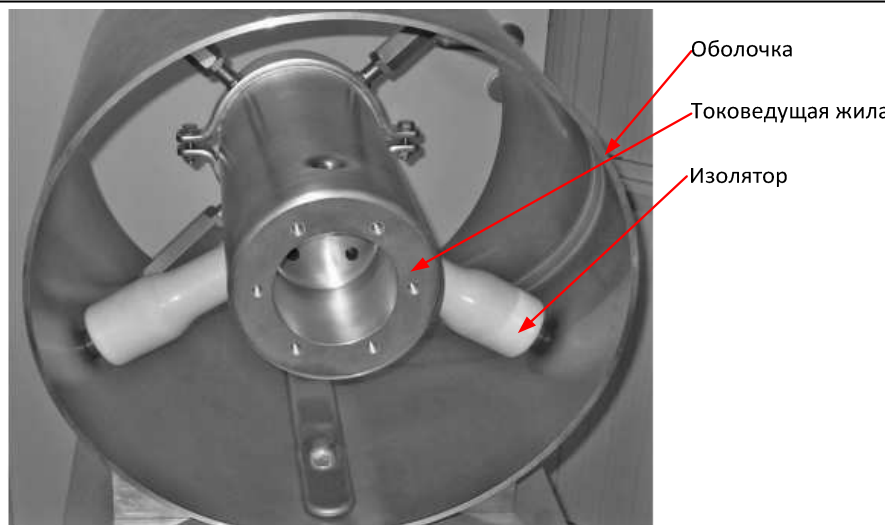


Рис. 1 Конструкция ГИЛ

Пространство между проводником и оболочкой заполняется элегазовой смесью (непосредственно самим элегазом или смесью азота с элегазом). Проводник обычно выполняется из алюминия в виде алюминиевой трубы, оболочка для поддержания внутреннего давления изготавливается из алюминиевого сплава или стали, также для оболочки могут использоваться синтетические материалы, например, эпоксидная смола, армированная стекловолокном [2].

Обслуживание газоизолированных линий схоже с обслуживанием ВЛ, причем за счет большей пропускной способности ГИЛ (до 2000 МВА) по ним можно передавать такую же мощность, как и по ВЛ такого же напряжения, при этом следует отметить, что в ГИЛ потери мощности меньше чем в ВЛ и КЛ.

На рисунке 2 представлено сравнение потерь активной мощности в кабельных, воздушных и газоизолированных линиях электропередач. Видно, что у ВЛ и КЛ потери выше, чем у газоизолированной линии, и при этом за счет внешней оболочки, которая больше, чем у кабельных линий, теплоотвод газоизолированных линий производится интенсивней, поэтому можно не использовать систему охлаждения [3].

Это одно из основных преимуществ ГИЛ: малые потери при передаче мощности обеспечиваются за счет большого поперечного сечения проводника и корпуса трубы. Сопротивление составляет всего 6-8 мОм/км. Если принять во внимание, что ток, который может передавать ГИЛ, – 3000А, то потери действительно малы.

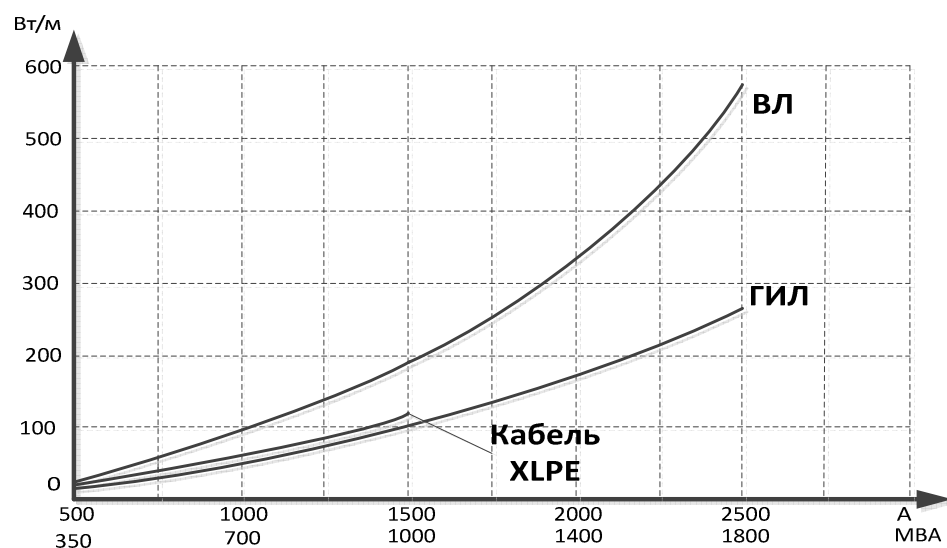


Рис. 2 Активные потери в ГИЛ, ВЛ и КЛ (500 кВ)

Одним из недостатков ГИЛ является необходимость защиты внешней оболочки от коррозии. Для этого в качестве пассивной защиты на металлические трубы наносится слой полиэтилена толщиной в несколько миллиметров, а также это делается при монтаже труб в местах сварки.

В случае пробоя изоляции внутри ГИЛ дуга короткого замыкания остаётся внутри оболочки и не является вредоносной ни для человека, ни для наружного оборудования. Элегазовая линия является жаростойкой и не усиливает нагрузку во время пожара, что само по себе также является защитой человека и окружающей среды. Это особенно важно для гидроэлектростанций, в которых соединение между ВЛ и высоковольтным распределительным устройством проходит по тоннелям и шахтам [4].

Помимо этого, следует отметить, что распространение магнитного поля ГИЛ значительно меньше, чем в КЛ.

На рисунке 3 представлены диаграммы магнитных полей, из которых видно, что электромагнитное поле за пределами ГИЛ очень малое по сравнению с КЛ, и это позволяет использовать ГИЛ в таких критических районах, как аэропорты, компьютерные центры и т.д. без применения особого экранирования.

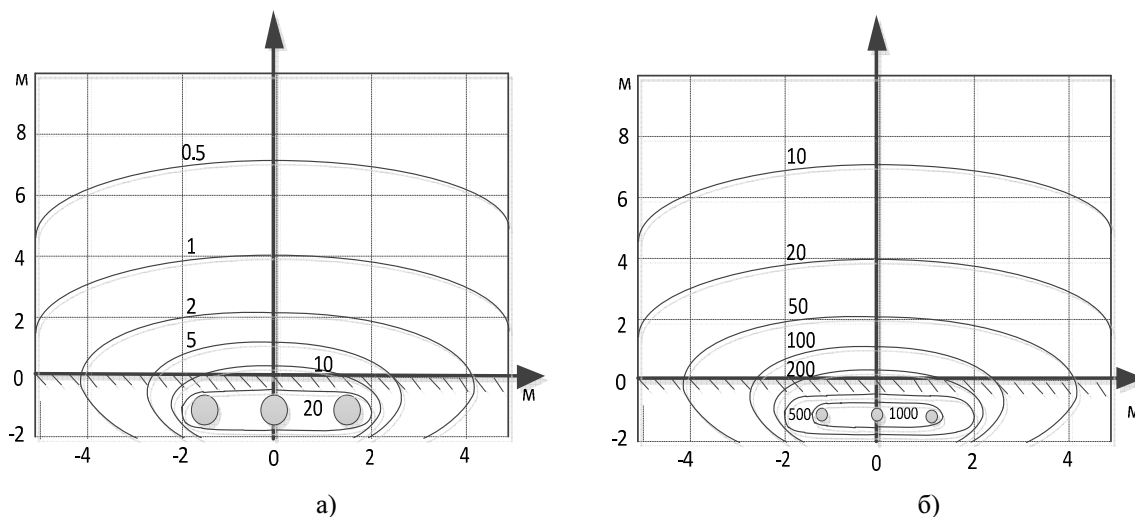


Рис. 3: а) Диаграммы магнитных полей (изолинии в  $\mu\text{Tl}$ ) для ГИЛ в трехфазном исполнении  
б) Диаграммы магнитных полей (изолинии в  $\mu\text{Tl}$ ) для КЛ в трехфазном исполнении

Следует отметить, что при временной перегрузке линии необходимо учитывать эффект от температуры окружающей среды: воздуха, почвы, солнечного излучения. Так как изоляционные газы - это  $\text{SF}_6$  и  $\text{N}_2$ , которые могут быть использованы выше  $500^{\circ}\text{C}$ , то нет практического ограничения по изоляции.

Изоляторы изготавливаются из литой эпоксидной смолы, максимальная температура эпоксидных изоляторов находится между  $110^{\circ}\text{C}$  и  $125^{\circ}\text{C}$ . Развинтые контакты, как правило, посеребренные и используются для компенсации теплового расширения проводника, их тепловые пределы до  $105^{\circ}\text{C}$ .

Все это позволяет увеличивать перегрузку линии по току, рабочей температуре и времени протекания перегруженного тока, что может быть описано уравнениями:

Ток перегрузки:

$$I_s = I_r \cdot \left( \frac{Q_{max} - Q_a}{\Delta Q_r} \right)^{\frac{1}{n}}$$

Рабочая температура при перегрузке:

$$Q_s = \Delta Q_r \times \left( \frac{I_s}{I_r} \right)^n \times e^{-t/\tau} + Q_a$$

Время допустимого протекания перегруженного тока:

$$t_s = -\tau \cdot \ln \left( 1 - \frac{Q_{max} - Q_a}{Y \left[ \frac{I_s}{I_r} \right]^{n-1}} \right),$$

где:

$I_r$  - номинальный рабочий ток (А) ;

$Q_{max}$  – максимально допустимая температура ( $^{\circ}\text{C}$ ) ;

$Q_a$  - фактическая температура внешней среды ( $^{\circ}\text{C}$ ) ;

$\Delta Q_r$  – повышение температуры от протекания тока  $I_r$  ;

$n$  – показатель перегрузки ;

$I_s$  – ток перегрузки (А) ;

$\tau$  - постоянная времени (сек.) ;

$t$  – время протекания тока (сек.) ;

$I_i$  - номинальный ток перегрузки (А);

Используя приведённые уравнения, можно определить допустимые значения тока, температуры и времени перегрузки линии в зависимости от условий прокладки.

В настоящее время отдельные ГИЛ уже нашли применения в Европе.

Так в г. Капруне, Австрия, для гидроаккумулирующей электростанции (ГАЭС) была проложена газоизолированная линия в шахте под углом 42°, с помощью которой присоединили воздушную ЛЭП (380 кВ) к подземной электростанции, а так как тунNELи ГИЛ не подвержены риску возгорания, то они были использованы для системы вентиляции.

Поскольку ГИЛ имеет низкий уровень электромагнитных полей, отличным способом их применения можно отметить проект PALEXPO в г. Женеве (Швейцария), когда при строительстве выставочного центра надо было заменить 500 м ВЛ 300 кВ.. Теперь в помещениях может выставляться и эксплуатироваться чувствительное электронное оборудование.

#### **Выводы**

Таким образом, в настоящие времена из-за значительного увеличения в потребности передаваемой мощности при отсутствии мест для сооружения подстанций и дополнительных линий ГИЛ- это реальное средство увеличения пропускной способности, которое эффективно может использоваться в городских сетях, в том числе Украины.

#### **Список литературы**

1. Александров Г.Н. Передача электроэнергии. Л: Энергия, 1980.
2. CIGRE TF 15.03.07: Long-term performance of SF<sub>6</sub> insulated systems. CIGRE Report 15-301, Session 2002, Paris.
3. Riedl J., Hillers T. Gas Insulated Transmission Lines // IEEE Power Engineering Review, 1–5, September 2000.
4. Takinami N., Kobayashi S., Miyazaki A. et.al. Application of the World's Longest Gas Insulated Transmission Line in Japan // Proceedings of the 7th International Conference on Properties and Applications of Dielectric Materials, June 1-5 2003.
5. Hermann Koch, Gas-Insulated Transmission lines (GIL), 2012.

**N.V. Buslova, Y.Y. Malysh**

**National Technical University of Ukraine "Kyiv Polytechnic Institute"**

#### **THE GAS-ISOLATED LINES AS MODERN MEANS OF INCREASE OF NETWORKS' CAPACITY**

*This article deals with the problem of modern cities associated with the need to increase the capacity of city networks. In connection with this problem the use of gas-insulated transmission lines (GIL) with increase capacity is investigated and comparative analyses with other line constructions is made.*

**Keywords:** gas-insulated transmission lines, bandwidth, cable lines, air lines, insulator, shell, sulfur hexafluoride, loss, isolation.

1. Aleksandrov G.N. Peredacha elektroenergii. L: Energiya, 1980.

2. CIGRE TF 15.03.07: Long-term performance of SF<sub>6</sub> insulated systems. CIGRE Report 15-301, Session 2002, Paris.

3. Riedl J., Hillers T. Gas Insulated Transmission Lines // IEEE Power Engineering Review, 1–5, September 2000.

4. Takinami N., Kobayashi S., Miyazaki A. et.al. Application of the World's Longest Gas Insulated Transmission Line in Japan // Proceedings of the 7th International Conference on Properties and Applications of Dielectric Materials, June 1-5 2003.

5. Hermann Koch, Gas-Insulated Transmission lines (GIL), 2012.

УДК 621.311

**Н. В. Буслова, канд. техн. наук, доцент, Ю. Ю. Малиш**

**Національний технічний університет України «Київський політехнічний інститут»**

*У статті розглядається проблема сучасних мегаполісів, пов'язана з необхідністю збільшення потужності міських мереж. У зв'язку з цим в роботі досліджено використання газоізольованих ліній електропередач (ГІЛ) з підвищеною пропускною здатністю і виконаний порівняльний аналіз з іншими конструкціями ліній.*

**Ключові слова:** газоізольована лінія електропередач, пропускна здатність, кабельна лінія, повітряна лінія, ізолятор, оболонка, елегаз, втрати, ізоляція.

Надійшла 22.01.2015

Received 22.01.2015

## КОМПЛЕКС ІМПЛОЗІЙНО-ХВИЛЬОВОЇ ДІЇ ДЛЯ ПІДВИЩЕННЯ ПРОДУКТИВНОСТІ ВИДОБУТКУ ВУГЛЕВОДНІВ

Представлено комплекс імплозійно-хвильової дії для підвищення продуктивності видобутку вуглеводнів, який синтезований на основі застосування процесу імплозії. Комплекс генерує хвильовий процес з одночасним відкачуванням флюїду із свердловини. Подібний вплив на пластову систему дозволяє збільшити проникність колектора та збільшити її продуктивність.

Метою роботи є обґрунтування структури та параметрів елементів комплексу імплозійно-хвильової дії на колектор пластової системи нафтової свердловини для утворення в ній системи мікротріщин, збільшення гідропровідності, та очищення зони фільтрації колектора нафтової свердловини від кольматантів.

На основі представлених розрахункових схем комплексу виконано розрахунки та обґрунтовано його раціональні параметри.

В результаті отримано залежності коефіцієнту інжекції від зміни геометричних параметрів струминного насосу. Визначено значення підвищення тиску в привибійній зоні за рахунок явища імплозії.

**Ключові слова:** нафтова свердловина, імплозія, проникність колектора, коефіцієнт інжекції.

**Вступ.** Нафта й газ є стратегічною сировиною і одним з найважливіших факторів економічної незалежності будь-якої держави. Зменшення фактичних дебітів свердловин пов'язане зі зниженням проникливості породи-колектора. Одним із дієвих методів впливу на гірський масив є застосування пристроїв імплозійної дії, принцип дії більшості з яких ґрунтуються на ефекті раптового руйнування спеціальної мембрани від гідростатичного тиску з наступним імпульсним вливанням рідини в депресійну камеру і створення імплозійного гідроудару [1]. При цьому можливий передчасний розрив мембрани або, для зниження тиску в депресійній камері, виникає необхідність в застосуванні складної канатно-поліспастної системи з довжиною канатів 2000...4000 м. в залежності від глибини свердловини.

Відносно низька ефективність застосування методу імплозії пояснюється складністю вибору об'єктів під імплозію, недосконалістю технології і пристройів для впливу на привибійну зону.

Критерії якості комплексу імплозійно-хвильової дії на привибійну зону нафтової свердловини характеризуються відношенням показників продуктивності свердловини до і після проведення обробки свердловини та тривалістю ефекту покращення фільтраційних властивостей свердловини. Важливим для ефективності функціонування елементів комплексу є раціональні значення їх параметрів.

**Метою роботи** є обґрунтування структури та параметрів струминного насосу та імплозійного модулю – основних елементів комплексу імплозійно-хвильової дії на колектор пластової системи нафтової свердловини для утворення в ній системи мікротріщин, збільшення гідропровідності та очищення зони фільтрації колектора нафтової свердловини від кольматантів.

**Постановка задачі.** Для досягнення мети роботи необхідно визначити коефіцієнт інжекції струминного насосу [2, 3] в залежності від геометричних параметрів сопла з рядом діаметрів 4, 6, 8 мм та дифузора з відповідними діаметрами камери змішування 6, 8, 10 мм, а також визначити параметри імплозійного удару: початкову швидкість робочої рідини, підвищення тиску в ударній хвилі, та підвищення тиску в свердловині від імплозійно-хвильового впливу.

**Матеріал і результати дослідження.** В Центрі імпульсно-хвильових конструкцій, технологій та навчальних систем ІЕЕ НТУУ "КПІ" розроблений комплекс імплозійно-хвильової дії на привибійну зону нафтової свердловини, який містить насосну установку 1, насосно-компресорні труби (НКТ) 2, струминний насос 3, пакер 4, імплозійно-хвильовий модуль 6 та імпульсний зворотний клапан 8 (рис. 1).

Насосною установкою 1 з поверхні прокачується робоча рідина по затрубному простору на вход струминного насосу 3, який встановлюється в привибійній зоні рис 1). Струминним насосом 3 створюється падіння тиску в інжекційній камері 5. За допомогою розрахункової схеми (рис. 2) розраховано коефіцієнт інжекції за вхідними даними (табл.1). Падіння тиску в камері інжекції супроводжується ходом плунжера 4 (рис. 2), що створює в імплозійній камері 7 перепад тиску відносно пластового тиску в зоні 9 (рис. 1). Комплект клапанів 5 та 6 створюють гіdraulічний зв'язок відповідно з камерою інжекції та імплозійною камерою.